

1. Opišite postopek projektiranja sestave betona in napišite kaj vse mora vsebovati projekt betona.

Osnovni postopek je sledeči:

- Uporabnik ddači namen uporabe in pogoje, ki jim bo betonski element izpostavljen.
- Projektant ddači sestavine betona (vrsta, kvaliteta, količina)/recepturo betona, način izdelave, prevoza in vgradnje betonske mešanice ter razporeženje elementa.

Projekt betona vsebuje:

- zahtevane lastnosti v času uporabe.
- pogoje za izbiro, dobavo in uporabo sestavin.
- Predpisane postopke hranjenja, uporabe in nege betonske mešanice.
- Predpisani način, vrsta in pogostost preverjanja in zagotavljanja kvalitete.

Bolj podrobna je še specifikacija betona, ki vsebuje še: 1) uporabo betona, 2) pogoje negovanja, 3) dimenzije konstrukcije zaradi hidratijske toplote, 4) optke dvoja, 5) zahteve za agregat na površini, 6) zahteve v zvezi z zaščitnim slojem, armaturo in najmanjšimi dimenzijami, 7) omejitve glede uporaba osnovnih materialov (primernost).

Med projektiranjem sestave betona moramo imeti podatke o:

- razpoložljivih sestavnih materialih (cement, agregat, voda, dodatki);
- tehnologijah izdelave betonskega elementa (način, transport, ~~pa~~ izvedba, nadzor);
- podatke iz projekta konstrukcije (dimenzije, armatura, pogoji okolja, način izvedbe).

2. Vgrajevanje betona v izjemnih pogojih: (a) Splošno. (b) Betoniranje pri nizkih temperaturah (priporočila, osnovni principi tehnologije zimskega betoniranja, grobi opis Termos metode). (c) Betoniranje pri povišanih temperaturah (splošno, poglobljena obrazložitev uporabe ledu - kalorična enačba).

a) Pri vgradnji betona so potrebni posebni ukrepi, če temperatura ozračja ni med 5°C in 20°C v brezveterju.

Pri nizkih temperaturah moramo preprečiti zamrzovanje betona, ki zelo zmanjša njegove fizikalne in mehanske lastnosti. Pri visokih temperaturah pa moramo zavirati proces hidratacije, ki lahko povzroči povečano število mikropovzračja. Prav tako moramo paziti na potrebo betona po vodi, ki je navadno večja.

b) Priporočila:

- Uporabljamo cemente z večjo hidratacijsko toploto (višji razredi, manj žindre).
- Izogibamo se cementov z dodatki pucolana.
- Uporabimo večje količine cementa in nižje vodocementne faktorje (uporaba superplastifikatorjev).
- Uporabimo pospeševalce vezanja in antifrizne.
- Predhodno segrejemo sestavine betonske mešanice.
- Segrevamo (preko opazov/cevi/pare) svež beton med njegova uljem.

Osnovni princip tehnologije zimskega betoniranja:

- Poskrbimo za primerno sestavo betona in segrejemo sestavine (navadno vodo in agregat).
- Po ugraditvi poskrbimo za segrevanje betona (izolacija, termo opazji, zaprti prostori, segrevanje...).
- Pred prvim zamrzovanjem moramo doseči vsaj 1/2 projektirane trdnosti.
- Preprečiti moramo hitro ohlajevanje ~~in~~ zmrzav po betoniranju.

Termos metoda: Betonsko (segreto) mešanico vgradimo v toplotno izolirano opaz. Skupna količina sproščene toplote v betonu mora biti enaka izgubani toplote, ki jih utrpi pri ohlajanju do 0°C:

$$Q_b = m_b \cdot c_b \cdot \Delta T = m_b \cdot c_b \cdot (T_{bz} - T_{0})$$
 začetna T - ohlajanje betona do 0°C

$$Q_z = m_c \cdot Q_{cht}$$
 t. prevodnost - sproščena hidratacijska toplota

$$Q_i = P \cdot t_h = k \cdot S \cdot (T_b - T_2) \cdot t_h$$
 debelina čas ohlajanja - izgubljena toplota skozi opaz v času t_h

Izračunamo in izrazimo t_h:

$$t_h = \frac{\gamma_b \cdot c_b \cdot T_{bz} + \gamma_c \cdot Q_{cht}}{3,6 \cdot k \cdot (T_b - T_2)} \cdot v \text{ [h]}$$
 stopnja mešanosti

e) Pri povišanih temperaturah imamo spravlja z večjimi potrebami po vodi, krajšim časom vezanja in zmanjšanju nominalne trdnosti betona. Uknepi, ki to preprečijo stivoma omilijo so:

- zmanjšanje temperature betonske mešanice (hladimo vodo, cement, agregat);
- uporaba drobljenega ledu.

Pri uporabi ledu moramo upoštevati, ^{dodane} masa vode enaka masi stopljenega ledu in vode v mešanici. To upoštevamo pri izpeljavi halotične enačbe:

$$T_b \cdot m_b \cdot c_b = T_a \cdot m_a \cdot c_a + T_c \cdot m_c \cdot c_c + T_v \cdot (m_v \cdot m_L) \cdot c_v + T_L \cdot m_L \cdot c_L - L \cdot m_L$$
 specifična talilna toplota ledu

$$T_b = \frac{0,2 \cdot (T_a \cdot m_a + T_c \cdot m_c) + T_v \cdot m_v - m_L \cdot (T_v - 0,49 \cdot T_L + 80)}{0,2 \cdot (m_a + m_c) + m_v}$$
 upoštevamo razmerja specifičnih toplot c_f

$$m_L = \frac{0,2 \cdot (T_a \cdot m_a + T_c \cdot m_c) + T_v \cdot m_v - T_b \cdot [0,2 \cdot (m_a + m_c) + m_v]}{(T_v - 0,49 \cdot T_L + 80)}$$

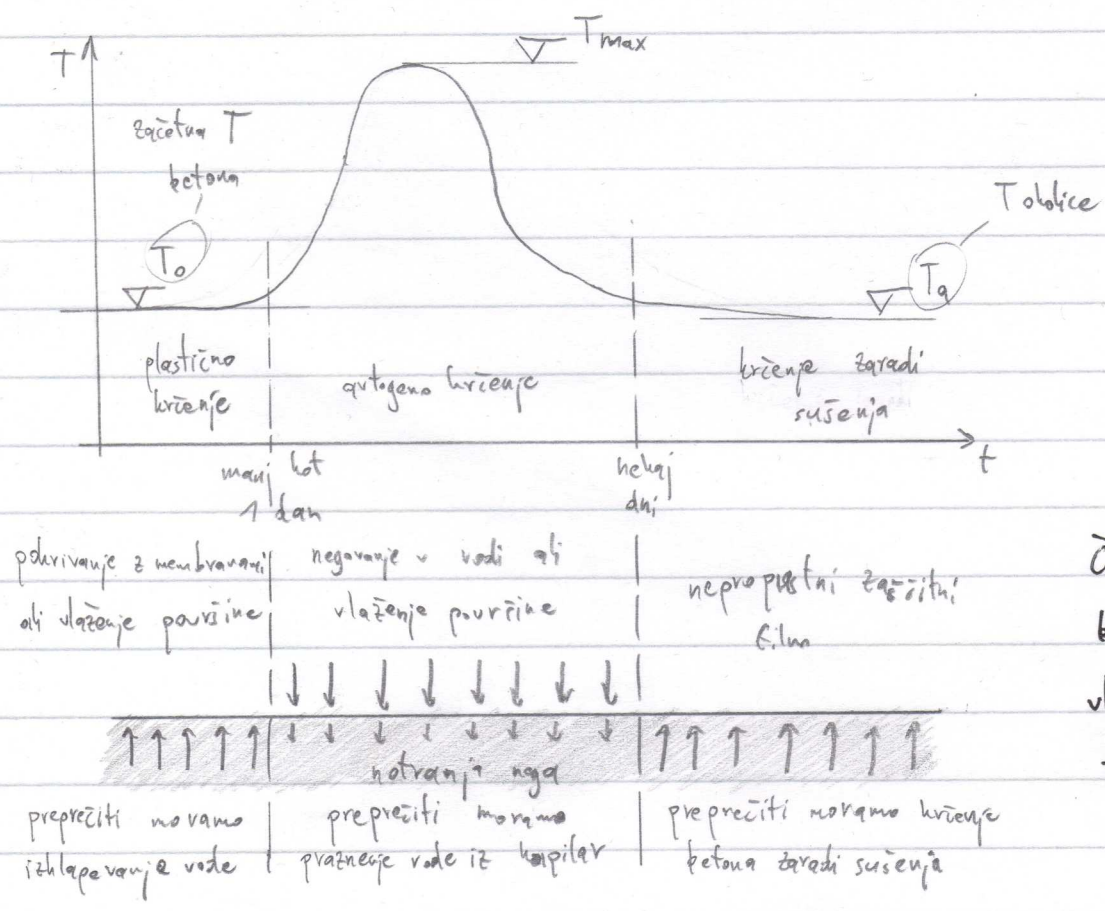
Lahko tudi:

$$m_L = \frac{T_b \cdot m_b \cdot c_b - T_a \cdot m_a \cdot c_a - T_c \cdot m_c \cdot c_c - T_v \cdot m_v \cdot c_v}{T_v \cdot c_v + T_L \cdot c_L - L}$$

3. Nege betona : a) Splošno . b) V izjemnih pogojih .

a) Po mešanju sestavin betona začne voda iz mešanice prehajati v okolico, ki ima manjšo relativno vlažnost od betona, poleg tega pa ~~veže~~ vezivo pri hidrataciji nase veže vodo. Posledica je nastanek precejšnjih sil v elementih in s tem poškodb. Te poškodbe zmanjšamo z zmanjšanjem deformacij z nege betona po ugraditvi.

Ločimo na zunanjo nego betona (vlaženje površine, preprečevanje izhajanja vode) in notranjo nego betona (rezervoarji vode v betonu, ki omogočajo kasnejšo porabo vode iz finih kapilar - to je lahki agregat).



Čas negovanja vpliva na pogoje za vlažnost okolice in temperaturo.

b) Glej odgovore pri vprašanju 2

4. Narišite mehanske in reološke lastnosti utrdelega betona in natančneje opišite njegovo tlačno in natezno trdnost (definicija, preiskave) ter prikažite vpliv strukture betona, pogojev okolja in starosti betona na njegovo trdnost (opis, diagram).

- Mehanske:
- tlačna trdnost
 - upogibna trdnost
 - natezna trdnost

- Reološke:
- deformacije zaradi obremenitve
 - krčenje
 - lezenje

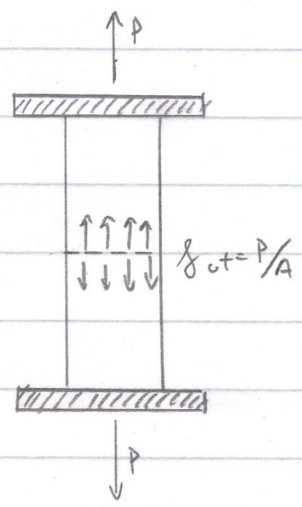
• Tlačna trdnost: Veliko večje kot pa njegova natezna ali strižna trdnost, zato jo hočemo pri projektiranju vedno čim bolj izkoristiti, označuje pa se z oznako CXX/YY, kjer sta XX in YY tlačne trdnosti standardne kocke in valja betona (15 cm in 30 cm). To je karakteristična tlačna trdnost.

Preiskava poteka tako, da vgradimo beton v kalupe (zgostimo, zravnamo), zaščitno vzorec, hranimo do preiskave na RH ≥ 95% pri 20°C ± 4°C in nato obrisane postavimo na presjo. Obremenitev nanašamo preko dveh togih jeklenih plošč, od katerih je spodnja nepomična, zgornja pa pomična. Obremenitev nanašamo postopoma in s predpisano hitrostjo do porušitve. Dobimo ^{enosno} tlačna trdnost betona: $f_c = P/A$

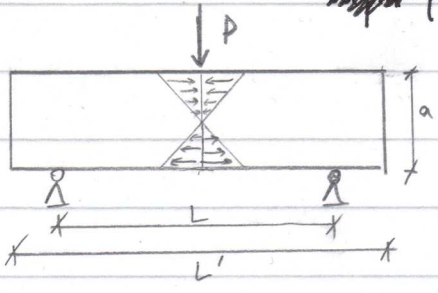
• Natezna trdnost: - Enosni natezni preizkus (redko):

Testiramo prizme 10x10x40 cm in f_{ct} izračunamo ob predpostavki, da je obnašanje betona vse do porušitve linearno elastično in da je $E_c = E_{ct}$:

$$f_{ct,fl} = \frac{3 \cdot P \cdot L}{2 \cdot a^3}$$

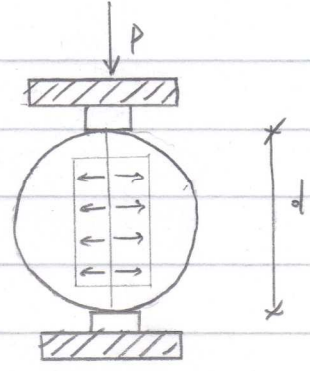


- Upogibni preizkus: Dobimo večje natezne trdnosti kot pri enoosnem preizkusu, saj je verjetnost, da je nateg na mestu oslavitve manjši. Določamo na ~~več~~ prizmah določenih dimenzij, njem iterativno pa je ~~določeno~~



odvisen od geometrija preizkusa, vedno pa velja:

$$f_{ct,sp} > f_{ct,EL}$$



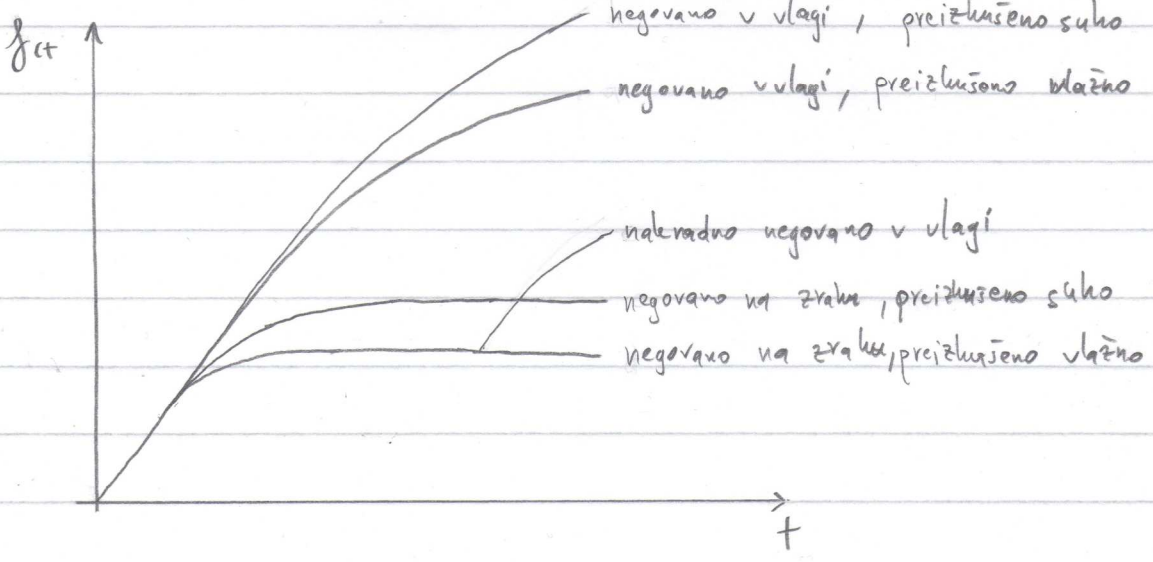
- Preizkus cepitvene natezne trdnosti:

Določamo jo na valjih s premerom $d=15\text{cm}$ in dolžino $L=30\text{cm}$, ki jih obremenimo s linijsko obtežbo vzdolž L in jo povečujemo do poravitve. Cepitvena natezna trdnost:

$$f_{ct,sp} = \frac{2 \cdot P}{\pi \cdot L \cdot d} > f_{ct,EL}$$

• Vplivi na trdnost betona: Heterogena struktura onemogoča enostavne napovedi vplivov na trdnost, poleg tega pa se struktura s časom spreminja.

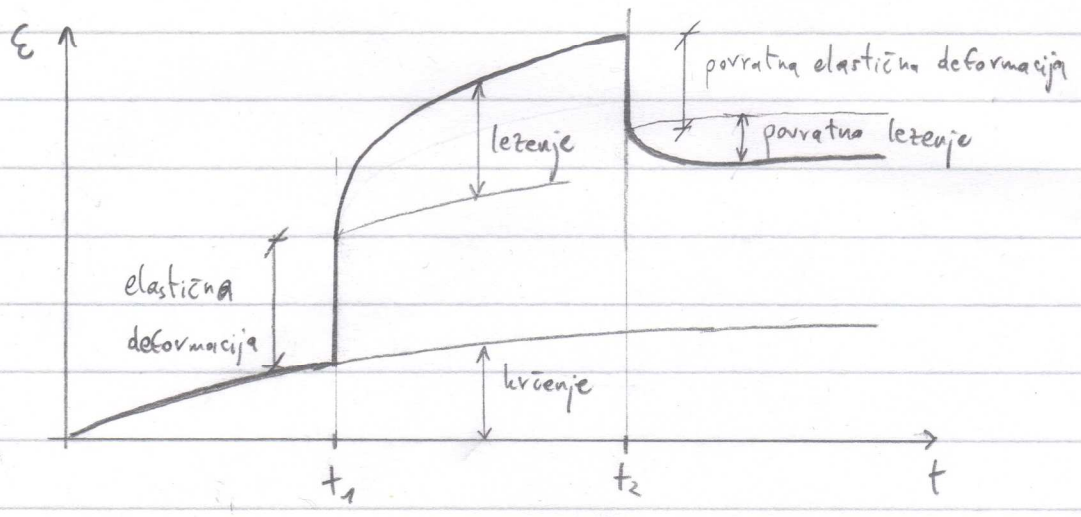
Vlažnost ima zelo velik vpliv na trdnost betona, saj se naraščajoče letne ustavi, če se beton izsuši. Če je beton pred preizkušanjem v vodi in nato kratak čas suši, ima zaradi kapilarnih sil večjo trdnost. Prav tako se moramo zavedati, da se trdnost betona povečuje s starostjo, če je ta negovan.



5. Reološke lastnosti ovrdelega betona : a) Splošno. b) Opisite časovni potek deformacij betona v suhem okolju, ki je bil v času t_1 obremenjen in v času t_2 razbremenjen (shematično prikažite deformacija v odvisnosti od časa). c) Opisite krčenje betona (vrste krčenj, parametri, ki vplivajo na velikost krčenja, glavne razlike v krčenja normalnega in visokotnega betona).

a) Reološke lastnosti ovrdelega betona so načeloma odvisne ^{tudi} od trajanja nanesene obtežbe. Pri kratkotrajnih obremenitvah manjših od dopustnih se beton obnaša elastično, pri dolgotrajnih pa prične beton lezti (pri istih napetostih se deformacije še vedno povečujejo). Poleg teh deformacij pa imamo telen čas tudi deformacije zaradi krčenja betona, ki navadno vnesejo v beton natezne napetosti.

b) Če pri majhnih ~~napetostih~~ napetostih deformacije niso čisto povratne (glej delovni diagram betona) - linije razbremenitve ni iste od linije obremenitve). Če pa pogledamo, kako se deformacije večajo, če beton obremenimo v času t_1 in razbremenimo v času t_2 opazimo naslednjo vzo:



c) Krčenje zaradi sušenja: kemijski procesi, ki spremljajo hidratacijo, povzročijo krčenje cementne paste → autogeno krčenje (samozir suševanje v porah). Višja je temperatura, nižje je vodocementno razmerje in večje drobnih delcev, večje je to krčenje.

zaradi izgub vode prihaja v površinskih slojih do krčenja in s tem do natoznih napetosti
 → plastično krčenje. Več je cementsa in slabša je nege betona, tem večje je to krčenje.

• Krčenje zaradi karbonatizacije: CO_2 v zraku reagira s cementnim kamnom v betonu in iz kalcijevega hidroksida nastane kalcijev karbonat in voda, ki pa imata manjšo prostornino in zato se beton krči. Ob tem pa se poveča trdnost betona. Najmanjši vpliv ima CO_2 , če ima beton zaprte pore, prazne pore ali pore polne z vodo, največ pa pri delno vlažnem betonu. Zaradi nizke proparstnosti so visokotrdni betoni bolj odporni proti temu pojavu kot betoni navadne trdnosti.

• Parametri, ki vplivajo na velikost krčenja betona: Poleg že naštetih, to je VC razmerje, temperature, zapoljenosti por, nege betona... imajo velik vpliv tudi zrna vodna sestava betona in velikost največjega zrna agregata, saj agregat krčenje ovira, poleg tega pa velika zrna zmanjšajo potrebo po velikem deležu cementsa, kar krčenje zmanjša.

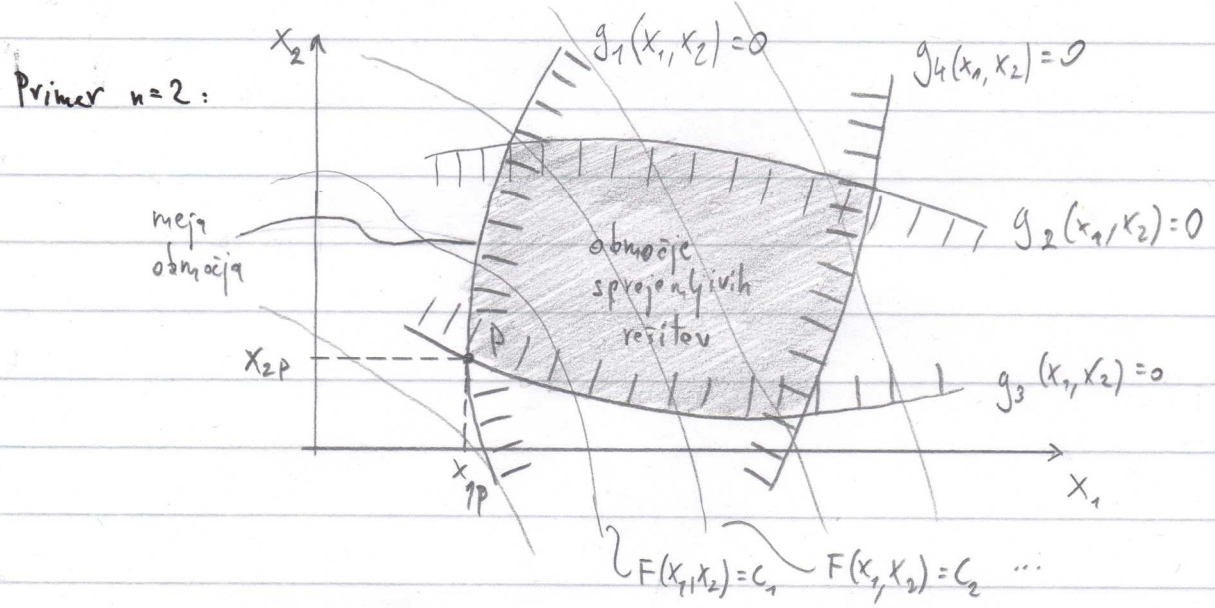
Krčenje je logično povezano tudi s časom. V splošnem se v prvih dneh izvrši od 14 do 34% dvajsetletnega krčenja, po treh mesecih pa od 40 do 80%, v prvem letu od 66 do 85%. To krčenje se pri stalnih pogojih nikoli ne ustavi.

6. Optimizacija betonskih konstrukcij: a) Osnove optimizacije betonskih konstrukcij. b) Formulacija matematičnega programa. c) Navedite vrste matematičnih programov.

a) Gradbeno konstruiranje je proces, pri katerem konstruktor išče rešitve, ki ustrezajo vsem pogojem nosilnosti, uporabnosti in trajnosti. Teh je v splošnem neskončno mnogo. Če v proces vpeto neznanka x_i , ki predstavljajo npr. geometrijo prereza in lastnosti materiala lahko izdelamo / ugotovimo območje sprejemljivih rešitev, ki ustrezajo vsem pogojem.

Ovrednotimo posamezne rešitve po nekem izbranem kriteriju in z matematičnimi orodji poiščemo optimalno rešitev (merljiv optimum). To pomeni, da iščemo ekstrem (min, max) kriterijalne oz. namenske funkcije. Ta rešitev je v nekem pogledu najboljša.

b) Imamo namensko funkcijo $F(x_i)$, ki gre proti ekstremu (min, max) in pogoje $g_j(x_i) \leq 0$ $i = 1, \dots, n$ in $j = 1, \dots, m$ ($n \neq m$).



Kriterij: $F \rightarrow \min$ \rightarrow Rešitev: $P(x_{1p}, x_{2p})$ / najmanjša vrednost $F(x_1, x_2)$ v območju sprejemljivih rešitev

Prostor rešitev je n -dimensionalen, medtem ko so $g(x_i) = 0$ in $F(x_i) = \text{konst.}$ $(n-1)$ -razsežni polprostor.

Problem lahko rešujemo grafično (primer) ali numerično (računalniki).

© Imamo več vrst matematičnih programov za tako optimizacijo:

- Diskretni programi: Izbiramo lahko le posamezne diskretne vrednosti pri eni ali več spremenljivkah (ni zvezna). Primer so preddefinirane dimenzije armature, ki ni poljubno izbrana.

- Večkriterijalno programiranje: Imamo navadno nelinearno namensko funkcijo in pogoje, problem pa rešujemo s posebno programsko opremo za reševanje sistemov nelinearnih enačb pri določenih pogojih. Primer je dodatek Solver v Excelu.

7. Optimizacija betonskih konstrukcij: a) Osnove optimizacije betonskih konstrukcij.
 b) Preverba dejanskih problemov povezanih s konstruiranjem v matematični program.

a) Glej odgovor na vprašanje 6.

b) Pri optimizaciji lahko ~~so~~ ovrednotenje in idealizacija dejanskega problema vpliva na posamezne spremenljivke in ustrezno izbiro namenske funkcije. Tukaj lahko pri reševanju nastopi ja naslednje vrste problemov:

1. $F(x_i)$ in $g_j(x_i)$ so linearne funkcije x_i ; $i=1, \dots, n$ in $j=1, \dots, m$.

Linearni program v matrični obliki:

$$F(x_i) = \{C\}^T \cdot \{x\} \rightarrow \min \text{ - namenska funkcija}$$

$$[A] \cdot \{x\} \geq \{B\} \text{ - pogoji}$$

- Reševanje:
- metoda simplex
 - grafično ($n=2,3$)
 - računalniški programi

2. Nepogojena optimizacija namenske funkcije vezanih spremenljivk:

Pogoj minimuma: $\frac{\partial F}{\partial x_i} = 0$; $i=1, \dots, n$ in $[J] = \begin{bmatrix} \frac{\partial^2 F}{\partial x_1^2} & \dots & \frac{\partial^2 F}{\partial x_1 \partial x_n} \\ \vdots & & \vdots \\ \frac{\partial^2 F}{\partial x_n \partial x_1} & \dots & \frac{\partial^2 F}{\partial x_n^2} \end{bmatrix}$

positivno definitna!

Metode nultege reda: -metoda mreže



- metoda naključnega preizkušanja
- kvadratna interpolacija v smeri iskanja rešitev

toliko čase izbiramo x_i , da dobimo optimalno vrednost

→ v točki gledamo, kam kaže gradient in gremo v tisti smeri

- Metode prvega reda:
- gradientna metoda
 - konjugirani gradient

Metode drugega reda: - Newtonova metoda

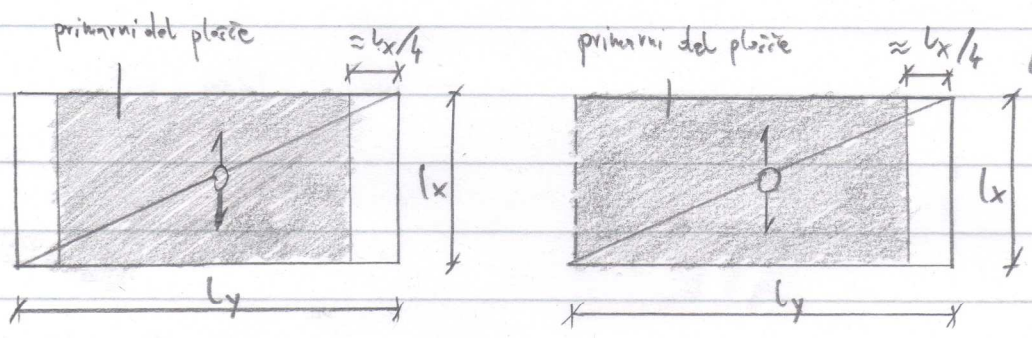
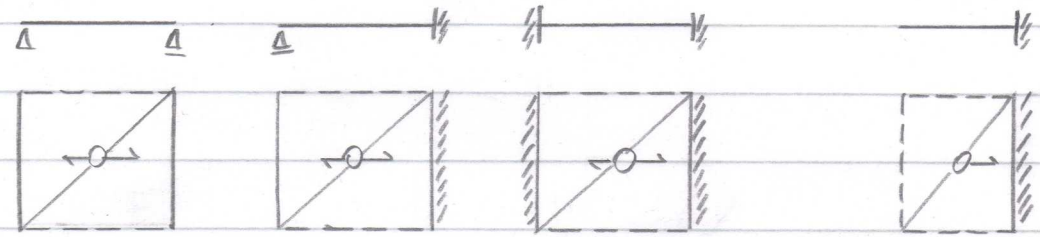
3. $F(x_i)$ in/ali eden $g_j(x_i)$ je nelinearna funkcija x_i :

- Rešitve:
- preverba na nepogojeno optimizacijo (metoda kazenskih funkcij)
 - ↳ modificiramo namensko funkcijo, da blažje uveste bližje pogojev
 - Lagrangevi multiplikatorji
 - metoda možnih smeri
 - linearizacija problema → razvoj v Taylorjevo vrsto (1. člen)

8. Polke AB plošče nosilne v eni smeri: (a) Kdaj so plošče nosilne v eni smeri?
 (b) Kako jih analiziramo in dimenzioniramo?

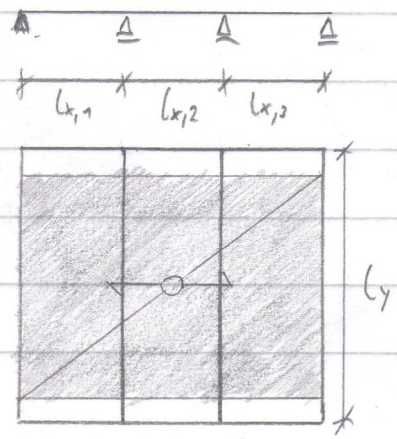
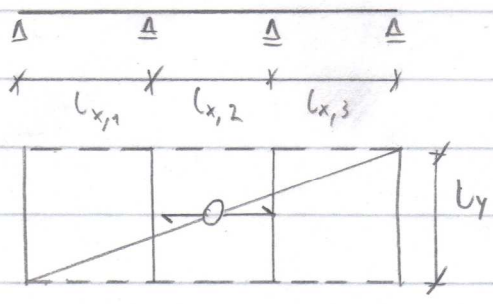
(a) V skladu s standardom SIST EN 1992-1-1 se lahko pretežno enosmerno obtežene plošče obravnavajo kot nosilne v eni smeri, če:

- ima dva prosta nepodprta in približno vzporedna roba ("nosilec", "konzole");
- gre za osrednji del na štirih robovih podprte približno pravokotne plošče z razmerjem večje razpetine proti manjši: $l_{max}/l_{min} \geq 2$

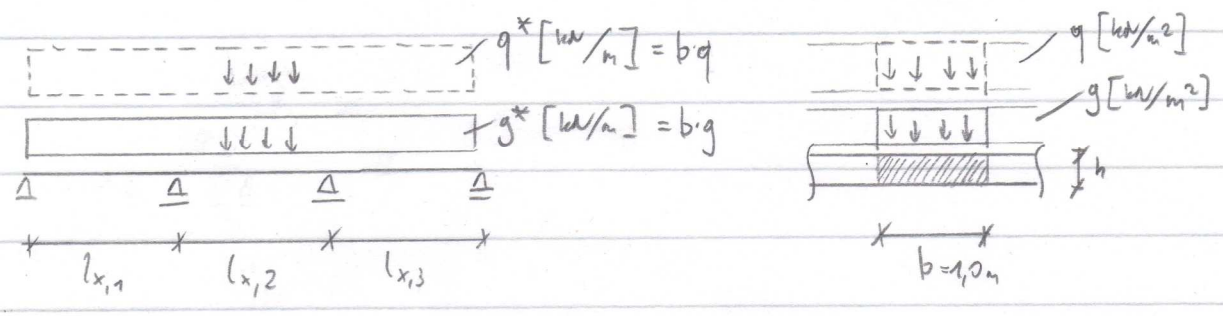


V prečni smeri na sredini iti ponik kot v vzdolžni smeri na sredini → večja ukrivljenost v prečni smeri → večji upogibni momenti.

S temi pogoji zajamemo tudi neprekinjene plošče preko več polj, če so te $b = l_y > 5$ in $l_{x,i} \geq 5h$ ter $l_{x,i} \cdot 2 \leq l_y$:



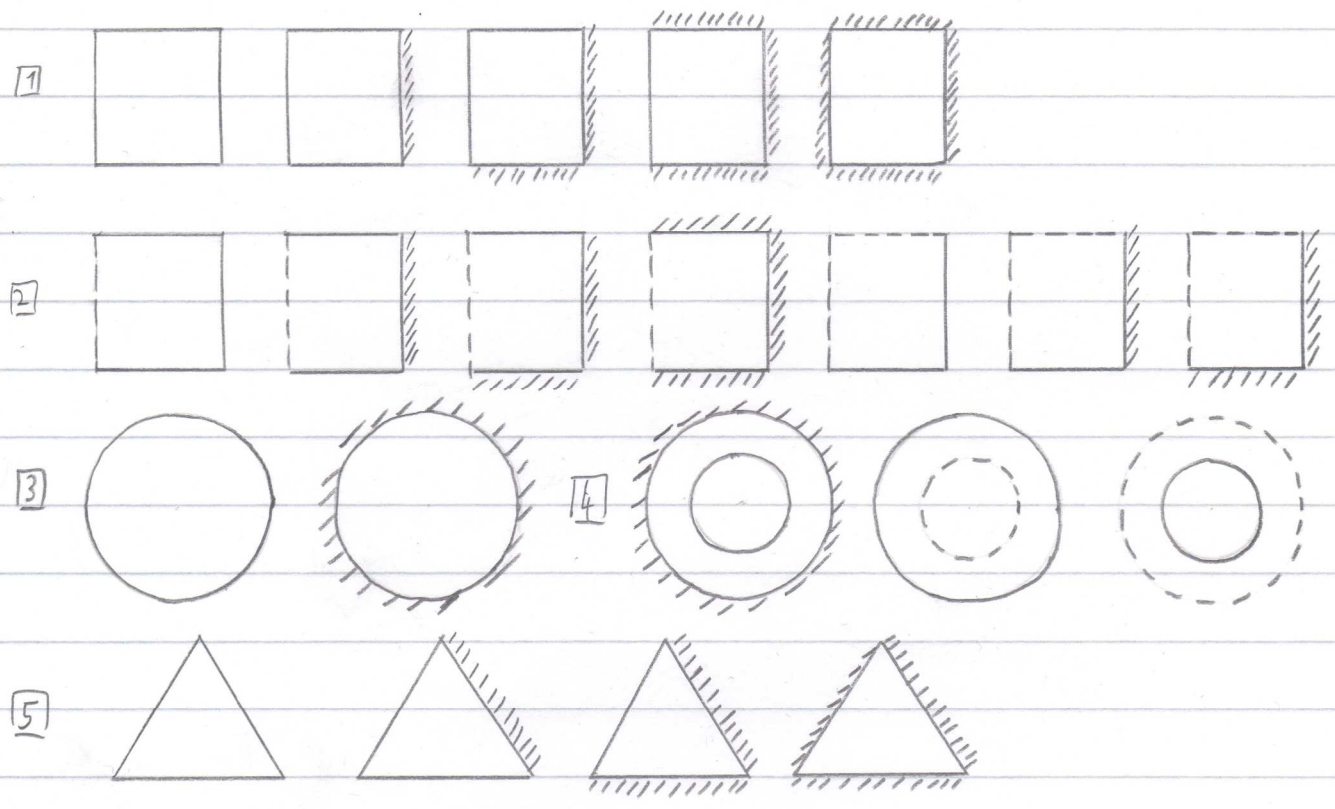
b) Za analizo in dimenzioniranje plošč nosilnih v eni smeri lahko uporabimo nadomestni nosilec, ki ga predstavlja pas plošče širine $1m$. Tegaost in enakomerno obtežbo (g^* in q^*) si razdeli na pripadajočo širino b . Pri koncentriranih in linijskih obtežbah notranje sile v nadomestnem nosilcu določimo z upoštevanjem sodelujoče širine. Analiza notranjih sil in potrebne kontrole glede MSN in MSU.



Še vseeno pa moramo upoštevati konstrukcijska pravila in zahteve glede armiranja plošč!

9. Podne AB plošče nosilne v več smereh : a) Kdaj so plošče nosilne v več smereh?
 b) Kako jih analiziramo in dimenzioniramo?

a) Podne AB plošče so nosilne v več smereh, če so pravokotne in podprte na 4 ali 3 straneh in $l_{max}/l_{min} < 2$, pravokotne podprte na 2 robovih in $l_{max}/l_{min} < 2$, krožne, kolobarjaste in trikotne plošče.



b) Analiziramo jih s pomočjo linearne teorije elastičnosti (izjemoma teorije plastičnosti). Take plošče so statično nedoločeni elementi, za katere velja parcialna diferencialna enačba plošče:

$$\frac{\partial^4 w}{\partial x^4} + 2 \frac{\partial^4 w}{\partial x^2 \partial y^2} + \frac{\partial^4 w}{\partial y^4} = \frac{q}{D}$$

q - obtežba plošče
 D - upogibna togost plošče
 $D = \frac{E h^3}{12(1-\mu^2)}$
 h - debelina plošče
 E - modul elastičnosti
 μ - Poissonov koeficient
 $0,2$ - nerazpukan beton
 $0,0$ - razpukan beton

Reševanje (analitično) te enačbe je zelo zahtevno, zato so bili izpeljani zaključeni izrazi za določanje pomikov in notranjih sil za tipične primere plošč. Ti so podani v obliki preglednic in diagramov. Enačbo pa lahko rešimo tudi numerično, to je z diferenčno metodo ali z metodo končnih elementov.

Računske metode, ki temeljijo na plastični analizi, se lahko uporabljajo le za kontrole v MSN (zadostna duktilnost kritičnih prevezov):

- metode spodnje meje → statične metode z upoštevanjem ravnotežnih pogojev v MSN ↗ metode parov pri ploščah
- metode zgoraj meje → kinematične metode s predpostavljenim površnim mehanizmom ↳ metoda površinic

Pri uporabi obstoječih razpredelnic in tabel moramo upoštevati teorijo oziroma predpostavke, po katerih so bile izračunane, zato je vsaka analiza za isto ploščo lahko drugačna, če izberemo drugega avtorja tabel. Pri analizi po MKE ~~in~~ za posamične plošče in pri uporabi tabel moramo paziti na izravnavo momentov, kjer se dve plošči stikata nad podporo. Pri MKE analizi celotne medetažne konstrukcije pa moramo paziti zgolj na obliko in gostoto mreže končnih elementov.

(za dodatne napotke glej uporabo tabel in obrazcev na predavanjih, ampak tega je preveč, da bi šel pšat v izpit...)

10. Konstrukcijske posebnosti in zahteve glede armiranja plošč.

- Dimenzije:
 - $b \geq 5h$ in $l_{eff} \geq 5h$ teoretične razpetine plošče
 - $h \geq 50mm$
 - če $h \leq 200mm$ (debelina potrebna za vgraditev strizne armature), potem $V_{ed} \leq V_{rd,c} = V_{rd,c}(h)$ - odpornost brez strizne armature

• Upogibna armatura:

- Preverit:

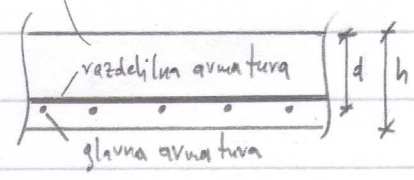
$$A_{s,min} = \max \begin{cases} 0,26 \frac{f_{ctm}}{f_{yk}} b \cdot d \\ 0,0013 \cdot b \cdot d \end{cases}$$

razen pri preklapih

$$A_{s,max} = A'_{s,max} = 0,04 A_c$$

plošče nosilne v eni smeri!

$$A_{s,razd} = 0,20 A_s$$



- Razdalje med palicami: $e \leq S_{max, slab}$

Glavna armatura: $e_{gl} \leq \min(3h; 400mm)$

Razdelilna armatura: $e_{razd} \leq \min(3,5h; 450mm)$

$e_{gl} \leq \min(2h; 250mm)$ ← območja s koncentriranimi obtežbami (strožji pogoji) → $e_{razd} \leq \min(3h; 400mm)$

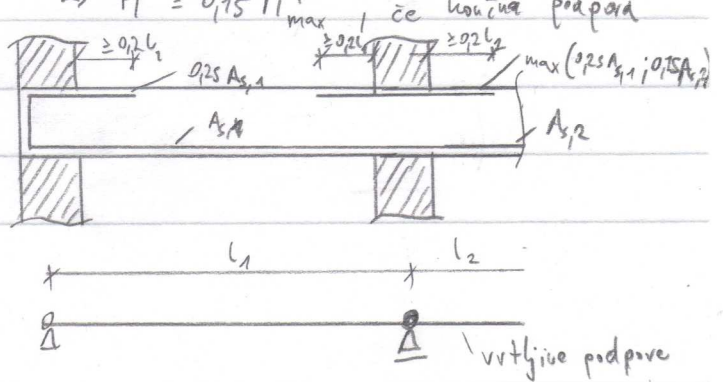
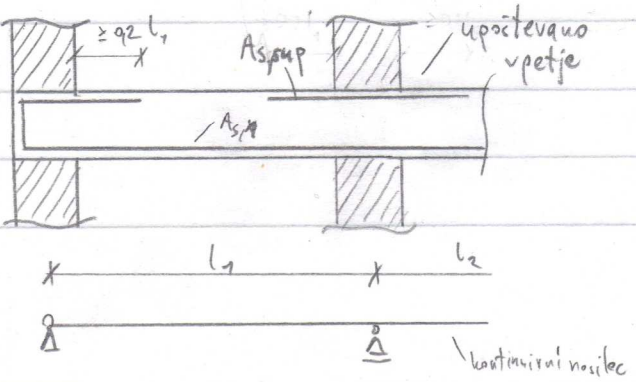
Za glavno armaturo velja, da mora biti zgoraj in spodaj enaka max vrednost armature v polju (glavne).

- Armaturo za preverit upogibnih momentov zaradi neupoštevanje upetosti:

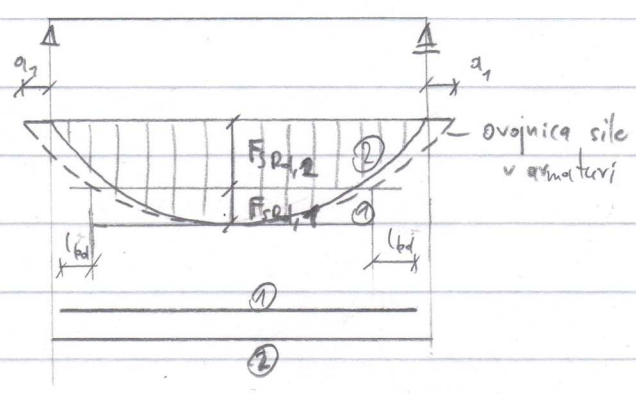
Plošče, ki so delno upete, a to ni upoštevano v računu za zgorajjo armaturo velja jo naslednje angitve:

$M^- \geq 0,25 M_{max}^+$ v polju → $A_s^- \geq 0,25 A_{s,max}^+$, če je $h = konst.$

→ $M^- \geq 0,15 M_{max}^+$ če končna podpora → $A_{s,1} \geq 0,25 A_{s,1}$ in $A_{s,2} \geq 0,25 A_{s,2}$ → $\max(0,25 A_{s,1}; 0,15 A_{s,2})$



- Vodenje armature vzdolž plošče: Načeloma kot pri nosilcih, le da upoštevamo premik
 orte sil v natezni armaturi $a_s = d$.



Sila v armaturi zaradi upogiba in osne sile:

$$F_{Ed} = \frac{M_{Ed,s}}{z} + N_{Ed} = k_s \frac{M_{Ed,s}}{h} + N_{Ed}$$

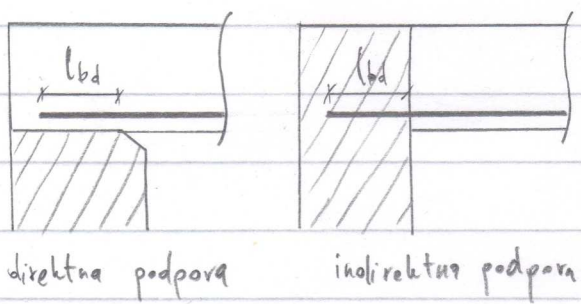
$$F_{s,Ed,i} = A_{s,i} \cdot \sigma_{s,i} \quad \text{in} \quad \sigma_{s,i} \leq f_{y,d,i}$$

↳ skupine ali posamezne palice

- Sidravanje armature spodaj nad končno podporo: Najmanjša spodnja armatura ob vrtljivih
 ož. žibko upetih končnih podporah:

$$A_{s,podp} \geq \frac{1}{4} A_{s,max} \quad \text{ož.} \quad A_{s,podp} \geq \frac{1}{2} A_{s,max}$$

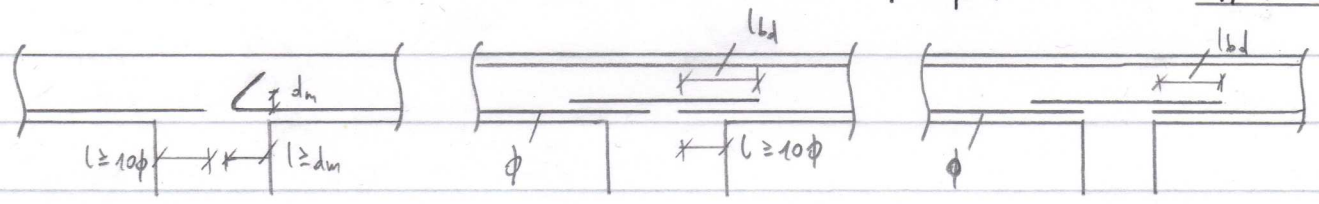
↳ poenostavitve z nosilci ↳ prostoležne plošče, vodimo do podpor!



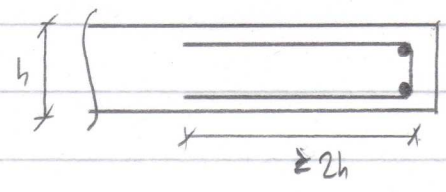
Sidravanje zagotovljeno za silo: $F_{Ed} = \frac{V_{Ed} a_s}{d} + M_{Ed}$

Upoštevamo $d = a_s$ (plošče): $F_{Ed} = V_{Ed} + N_{Ed}$

- Sidravanje spodnje armature nad vmesno podporo: → kontinuirno modeliranje: $A_{s,podp} \geq \frac{1}{4} A_{s,max}$
 → vrtljivo podprto modeliranje: $A_{s,podp} \geq \frac{1}{2} A_{s,max}$



- Armiranje prostil robov: Prečna armatura v obliki "U" stremen in palice vzdolžne armature.

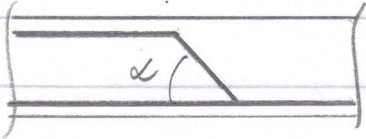


• Strižna armatura: Vgradi lahko le če so plošče $h \geq 200 \text{ mm}$!

Sestavljen je lahko iz stremen, ki objemajo tlačno in natežno cono in posvno krivljenih palic.

glede na tlačno diagonale

$$|V_{ed}| \leq \frac{1}{3} V_{Rd,max} \rightarrow \text{palice edina strižna armatura}$$



$$\alpha: 45^\circ \leq \alpha \leq 90^\circ$$

Minimalna potrebna količina strižne armature: $S_{w,min} = 0,08 \cdot \sqrt{f_{yk}} / f_{yk}$

$$S_w = \frac{A_{sw}}{s \cdot b \cdot \sin \alpha}$$

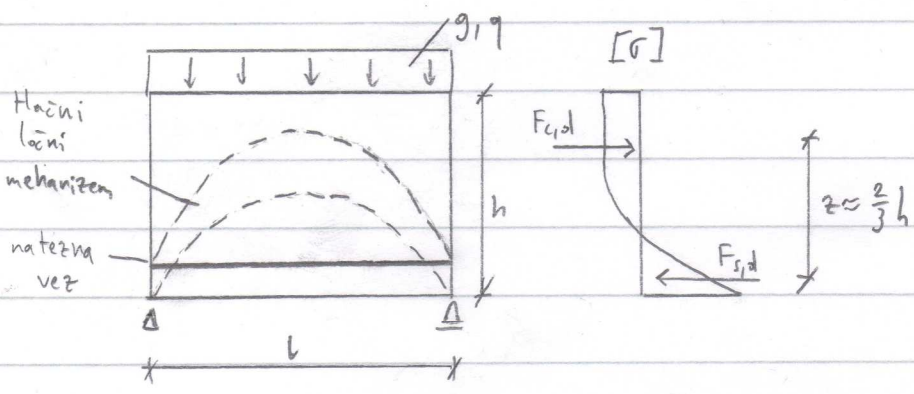
vzdolžna razdalja med palicami

Maksimalne razdalje med palicami strižne armature:

- vzdolžno med zaporednimi nizi stremen: $S_{max} = 0,75 d \cdot (1 + \cot \alpha)$
- vzdolžno med posvno krivljenimi palicami: $S_{max} = d$
- med posameznimi strižnimi palicami na snc preseči: $S_{t,max} = 1,5 d$

11. Opisite postopek dimensioniranja stenastih nosilcev: a) Formiranje modela. b) Potrebne kontrole elementov modela.

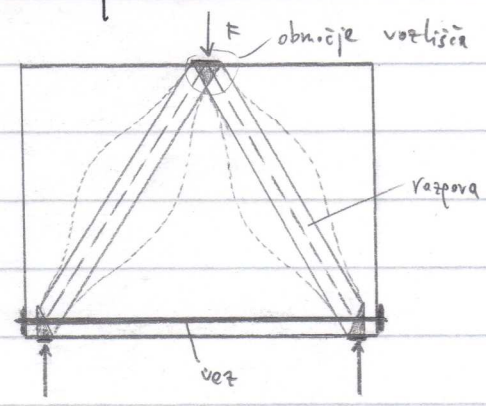
Ne velja več Bernoullijeva hipoteza o linearnem poteku deformacij po višini prereza, saj si zaradi velike višine aktivira ločni mehanizem. Ta poteka preko razširjenih deformacij in napetosti po višini. Prereza sta nelinearna (če ob upoštevanju najbolj enostavnega linearno elastičnega obnajanja materiala \rightarrow Hookov zakon $\sigma = E \cdot \epsilon$).



- $l/h \leq 2$ - prostoležeči nosilec
 - $l/h \leq 2,5$ - kontinuirni nosilec preko 2 polj
 - $l/h \leq 3$ - kontinuirni nosilec preko več polj
- } meje za stenast nosilec

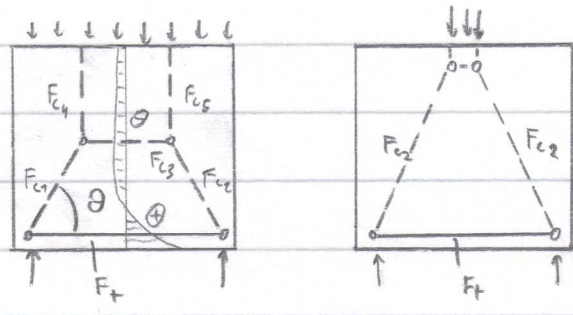
a) Kot primarno metodo za analizo stenastih nosilcev razsmemo metodo z uporabo modela z vezi in razporami (nadomestno palčija), ki sodi med metode plastičnosti. \rightarrow za MSU in MSN

- vezi (namišljena natezna armatura)
- razpore (pojačevalne napetosti)
- vozlišča (stičišča in vrhovi koncentriranih obtežb in reakcij)



Model z njegovo geometrijo izberemo tako, da je položaj in smeri vezi in razpor prilagojene rezultatom analize po linearno elastični teoriji (ugodno tudi za preprečevanje širokih razpok).

Elemente modela v grobem prilagodimo smerem trajektorij glavnih napetosti in položaju natežnih oz. tlačnih napetosti, ki jih dobimo z linearno elastično analizo po MKE. Pri enostavnih primerih določimo geometrijo nadomestnega palčja na podlagi uveljavljenih meril.



Š priporočili določimo vršice sil, kot pod katerim potekajo razpore θ in sile v mehanizmu sopen F_t in F_c (priporočila so podana v tabelah v literaturi).

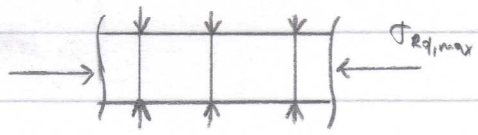
Navadno najprej določimo sile v glavnih vezeh in nato z upoštevanjem ravnovesnih pogojev v vozliščih določimo tudi sile v razporah. Sile v vezeh se določijo na podlagi momentov določenih na modelu običajnega linijskega nosilca, pri tem pa upoštevamo znižanje momentne linije zaradi aktiviranih mehanizmov v stenastem nosilcu preko vezí polj.

b) • Vezi: Izpolniti moramo pogoje MSN: $A_{s,t} = F_{t,d} / f_{t,yd}$

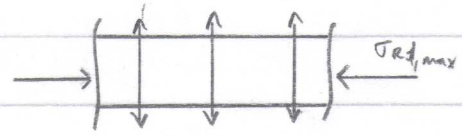
• Razpore: V splošnem kontrola napetosti v vozliščih že pokriva kontrolo tlačnih napetosti v vzdolžni smeri. Paziti pa moramo na pojav morebitnih lokalnih prečnih nategov pri razširitvi napetosti v razpori (cepilne sile): $\sigma_{c,d} = F_{c,d} / A_c$

$$F_{c,d} = (b \cdot w) \cdot \sigma_{rd,max}$$

Prečne tlačne napetosti na razpore delujejo ugodno, zato redukcija ni potrebna. V kolikor pa imamo opravka z nateznimi napetosti prečno na razpore, moramo redukcijo nosilnosti tlačnih razpor upoštevati.



$$\sigma_{rd,max} = f_{cd}$$



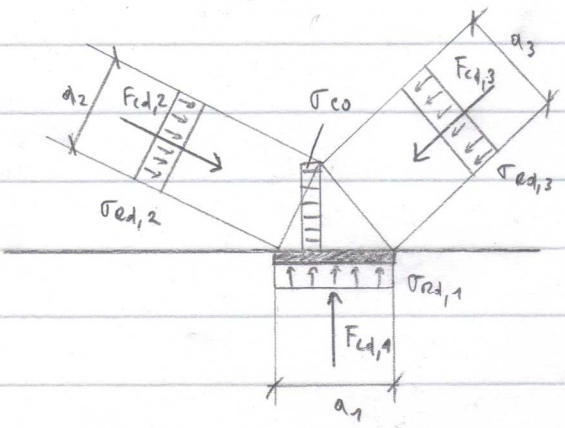
$$\sigma_{rd,max} = 0,6 \cdot f'_{cd}$$

• Vozlišča: že vsako izmed stikovanih razpor mora v vozliščju vedjati:

$$\sigma_{c,d,i} = F_{c,d,i} / A_{c,i} ; F_{c,d,i} = b \cdot a_i \cdot \sigma_{ed,max}$$

$$\sigma_{ed,max} = 1,0 \cdot \gamma' \cdot f_{cd}$$

$$\gamma' = 1 - f_{ct} / 250$$



12. Opišite postopek konstruiranja armature pri stenastih nosilcih.

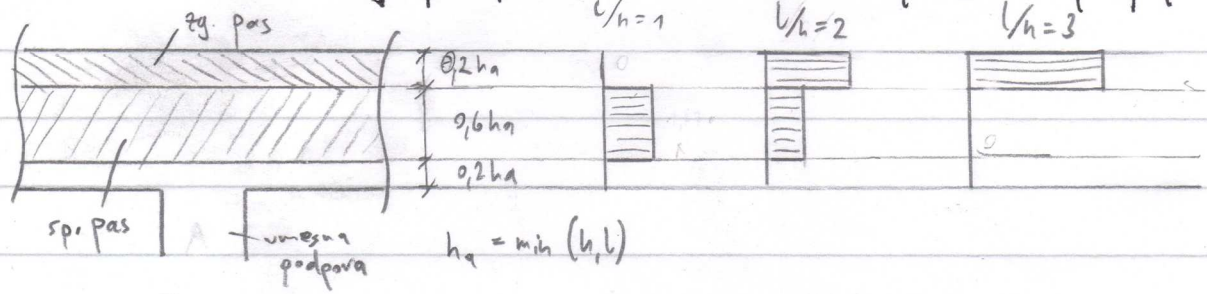
• Za prevezni glavnih lokalnih nateznih napetosti, ki niso pokrite z ostalo armaturo, je po celotni površini potrebno namestiti mrežo ortogonalne armature v bližini obeh površin z $A_{s,dbmin} = 0,001A_c$, vendar ne manj kot $1,50 \text{ cm}^2/\text{m}$ ob vsaki plošči v vsaki smeri. Polg tega velja:

$$e_{h,max} = e_{v,max} = \min(2b; 300 \text{ mm})$$

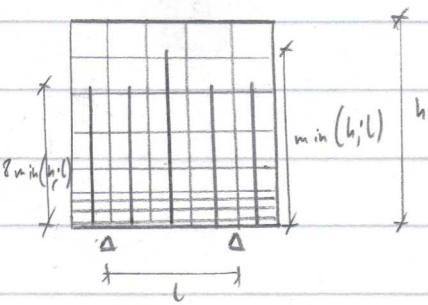
• Armature za spodnje glavne natezne vezi v podporah sidrano za celotno silo, ki zagotavlja ravnotežje, s križljenimi palicami, U-palicami ali napravami za sidranje, razen če je na razpolago zadostna dolžina za sidranje lbd.

• Armature za spodnjih glavnih vezi razvrstimo s palnim prevezom po celi dolžini nosilca na višini $0,12 \cdot \min(h;l)$.

• Armature za zgornjih glavnih vezi v območjih podpor razporedimo v dva pasova, ki sta geometrijsko definirana s palnim prevezom. Armature v zgornjem pasu $[(l/h)-1]/2$, ostalo pa gre v spodnji pas.



• Armature za obe smeri spodnje obtežbe vodimo ob podpori do višine $0,8 \cdot \min(h;l)$, v srednjem območju pa do višine $\min(h;l)$.

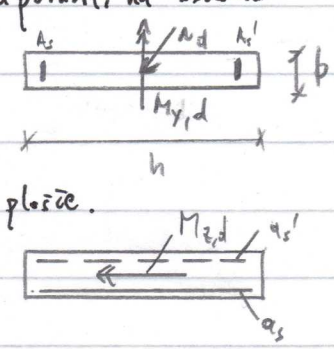


• Ko $A_{s,dbmin}$ ne zadostuje prevzemu nateznih sil v tlakah razponih, namestimo še dodatno ortogonalno ali trigeltrijsko armaturo na obeh ploskvah nosilca.

• Vezi pa armiramo glede na prevzeto silo F_s !

13. Konstruktivne zahteve za stene.

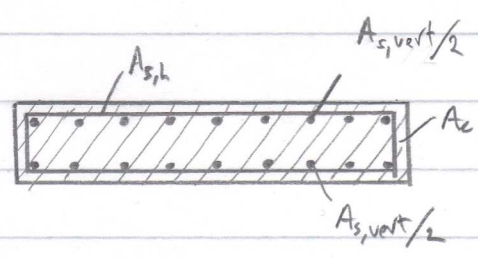
- Dimenzije: Pogoji, da je stena je $h > 4b$, drugače stebec.
- Ojačane stene so tiste, pri katerih se armatura upošteva pri dokazih od poravnati na osnovno obremenitev (tlak in upogib okoli močne osi).
- Armaturo določimo tudi z modeliranjem po metodi razpar in vez.
- Če gre za pretežno upogib izven ravnine stene, veljajo pravila za plošče.



- Vertikalna armatura: $0,003 A_c \leq A_{s,vert} \leq 0,04 A_c$ podvige armature na vsaki strani
- V območju preklapov: $A_{s,vert} \leq 0,08 A_c$

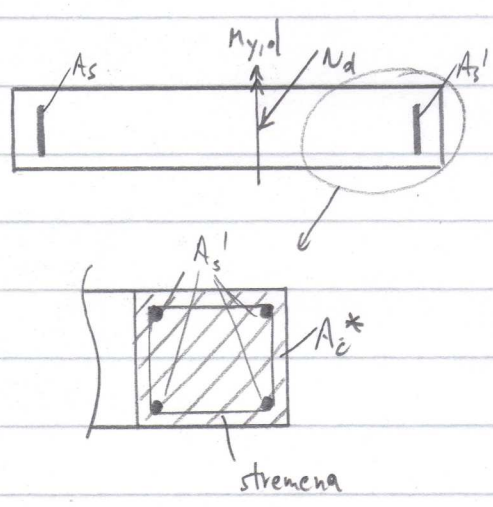
Razdalja med palicami: $e_{max} = \min(3b; 400 \text{ mm})$

- Horizontalna armatura: $A_{s,h} \geq 0,002 A_{c,v}$



Razdalja med palicami: $e \leq 400 \text{ mm}$

- Prečna - lokalna stremenska armatura: Če lokalno velja $A_{s,vert} > 0,02 A_c^*$, moramo objeti s stremeni (premer in razdalje enakovredne stebrom).



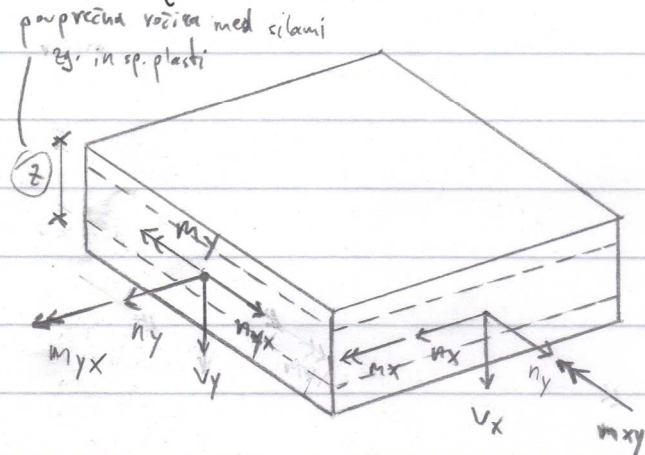
Npr: $k = \frac{A_c'}{A_s} = 1$

$\rho_c = \frac{A_{s,vert}}{A_c^*} \Rightarrow \frac{A_c'}{A_c} \geq 0,02$

↳ Dodatna stremena!

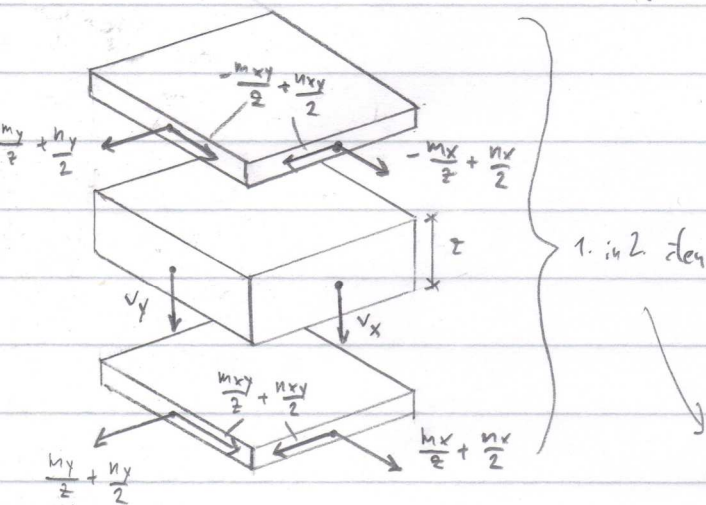
14. Dimenzionirajte lupinastih elementov: a) Opišite potek dimenzioniranja splošnega lupinastega elementa pri membranski in upogibni obremenitvi. b) Opišite primere posebnih delnih obremenitev lupinastih elementov.

a) Pri dimenzioniranju poljubnega lupinastega elementa dobimo v vsaki točki lupine v splošni 8 komponent vektorja obremenitve (recimo z MKE):



- 3 membranske: $n_x, n_y, n_{xy} = n_{yx}$
- 3 upogibne: $m_x, m_y, m_{xy} = m_{yx}$
- 2 prečni strižni: v_x, v_y

b) Namesto tega pa lahko uporabimo nadomestni slojevit element! Zunanje plasti prevzamejo membranske sile zaradi osnovnih membranskih sil v celotnem elementu ter upogibnih in torzijskih elementov. Notranja plast pa prevzame strižne obremenitve zaradi prečnih sil izven ravnine.

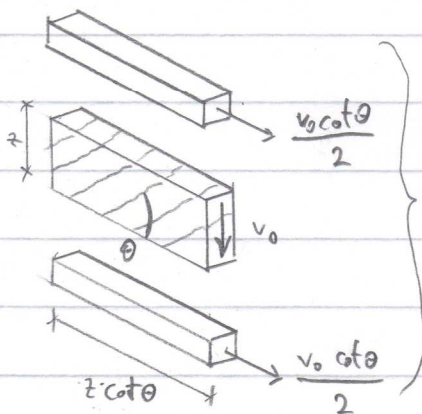


Membranske obremenitve na enoto dolžine določimo za sp. plast (inf) in zg. plast (sup):

$$n_{x \text{ inf, sup}} = \frac{n_x}{2} \pm \frac{m_x}{z} + \frac{v_x^2}{2v_0} \cot \theta$$

$$n_{y \text{ inf, sup}} = \frac{n_y}{2} \pm \frac{m_y}{z} + \frac{v_y^2}{2v_0} \cot \theta$$

$$n_{xy \text{ inf, sup}} = \frac{n_{xy}}{2} \pm \frac{m_{xy}}{z} + \frac{v_x v_y}{2v_0} \cot \theta$$



θ - naklonski kot tlakovih razpov

$v_0 = \sqrt{v_x^2 + v_y^2}$ - glavna prečna sila

Razpokanost elementa je odvisna od velikosti glavne prečne sile v primerjavi s strižno odpornostjo strižno nearmiranega elementa na enoto dolžine:

$$\underline{V_0 > V_{rd,c} = V_{rd,c}/b} \rightarrow \text{vmesni sloj razpokan, potrebna strižna armatura}$$

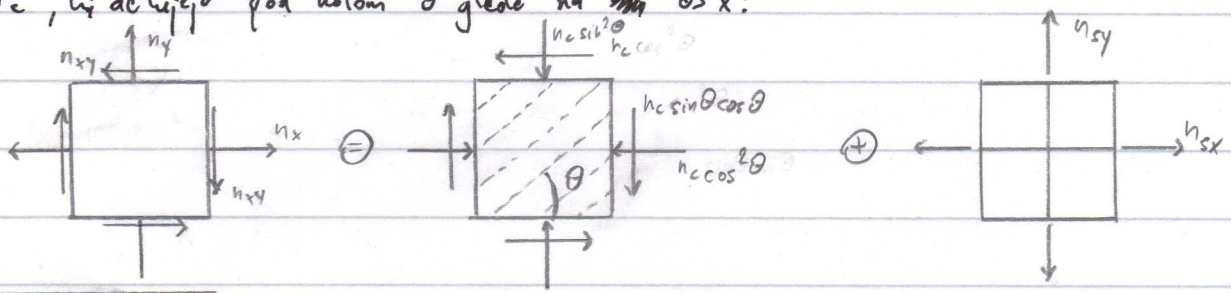
$$\underline{V_0 \leq V_{rd,c} = V_{rd,c}/b} \rightarrow \text{vmesni sloj nerazpokan}$$

Zgoraj omejene vrednosti komponent vektorja obremenitve moramo zaradi preverjanja MSN upoštevati v smislu prijetnih vrednosti (npr: $n_x \rightarrow n_{xd}$).

15. Izpeljava osnovnih enačb za dimensioniranje lupinastih elementov pri membranski obremenitvi in povezava le-teh določil za dimensioniranje takih elementov v standardu SIST EN-1992-1-1.

Te enačbe so uporabne za elemente z membranskimi obremenitvami in zunanjo plastjo.
 → steno, stenasti nosilec... → splošna lupina

Plakovni element je izpostavljen membranski obremenitvi (n_x, n_y, n_{xy}) in ravnotežje le-tom zagotavljamo s silami v armaturi, ki poteka v x in y smeri, ter silami v polju Hlačnega betona n_c , ki delujejo pod kotom θ glede na os x:



$$\begin{aligned} n_{xy} &= n_c \cdot \sin \theta \cdot \cos \theta \\ n_x &= n_{sx} - n_c \cdot \cos^2 \theta \\ n_y &= n_{sy} - n_c \cdot \sin^2 \theta \end{aligned}$$

izpeljemo

$$\begin{aligned} n_{sx} &= n_x + n_{xy} \cdot \cot \theta \\ n_{sy} &= n_y + n_{xy} \cdot \tan \theta \end{aligned}$$

$$n_c = \frac{n_{xy}}{\sin \theta \cdot \cos \theta}$$

To velja za poljuben izbran kot θ , izvaja pa morata zadoščati pogoju omejitve napetosti v Hlačnem polju:

$$\sigma_c = \frac{n_c}{t} \leq \gamma \cdot f_{cd} \rightarrow n_{xy} \leq \gamma \cdot f_{cd} \cdot t \cdot \sin \theta \cdot \cos \theta$$

↑
vpliv nateznih napetosti v prečni smeri
debelina elementa

Najmanjša skupna armatura je pri kotu $\theta = 45^\circ$. Če se spremeni predznak strižne komponente n_{xy} to povzroči le spremembo orientacije Hlačnega polja in ne tudi zmanjšanje potrebne količine armature.

Če imamo v smeri osi x veliko tlačno silo, potem je: $n_{sx} = 0$ in potrebno le minimalno armaturo! Izrazi se glasijo:

$$\begin{aligned} n_{xy} &= n_c \cdot \sin \theta \cdot \cos \theta \\ n_x &= -n_c \cdot \cos^2 \theta \\ n_y &= n_{sy} - n_c \cdot \sin^2 \theta \end{aligned}$$

θ je sedaj pogojen in ni poljuben: $\cot \theta = - \frac{n_x}{n_{xy}}$

Podoben izraz se lahko izpoljemo tudi, če je $n_{xy} = 0!$

Izraz za potrebno silo v armaturi osi y: $n_{sy} = n_y + \frac{n_{xy}^2}{|n_x|}$

Če sta obe osni obremenitvi n_x in n_y dovolj veliki tlačni sili, je element dvoosnem tlaku z glavnima osnima silama na enoto dolžine:

$$n_{I,II} = \frac{n_x + n_y}{2} \pm \sqrt{\frac{(n_x - n_y)^2}{4} + n_{xy}^2}$$

Pogoj za dvoosni tlak: $n_x \cdot n_y \geq n_{xy}^2$

glavna tlačna napetost

Pogoj za preverjanje tlačnih napetosti v betonu: $n_{II} \geq t \cdot f_{cd}$

V standardu SIST-EN-1992-2-1 so tlačne napetosti vzete kot pozitivne, rečeno je, da velja $\sigma_{Edx} > \sigma_{Edy}$, smer armature pa sovpadata z osema x in y. Veljajo povezave:

debelina elementa

ravninske ortogonalne napetosti

$$\begin{aligned} n_x &= -t \cdot \sigma_{Edx} \\ n_y &= -t \cdot \sigma_{Edy} \\ |n_{xy}| &= t \cdot |\tau_{Edy}| \end{aligned}$$

Najtezna trdnost, ki jo zagotavlja armatura, je potem:

stopnji armiranja

$$f_{tdx} = \rho_x f_{yd} \quad \text{in} \quad f_{tdy} = \rho_y f_{yd}$$

a_{sx}/a_c a_{sy}/a_c

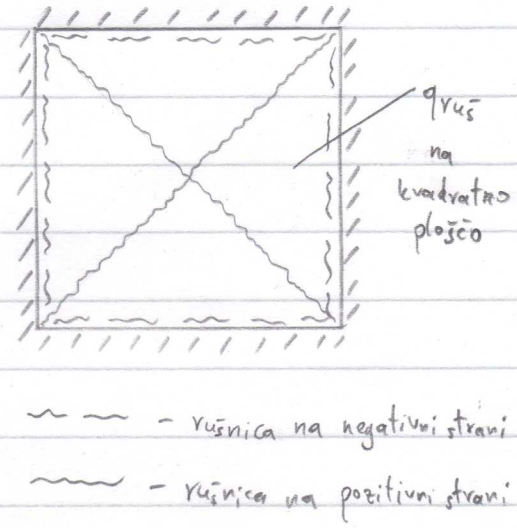
S tem je vzpostavljena povezava splošnih enačb za membranske obremenitve s postopkom dimenzioniranja po SIST EN-1992-2-1.

16. Metoda porušnih linij pri polnih AB ploščah :

- a) Predstavitev metode in eksperimentalno uredje.
- b) Teoretične podlage metode porušnih linij.

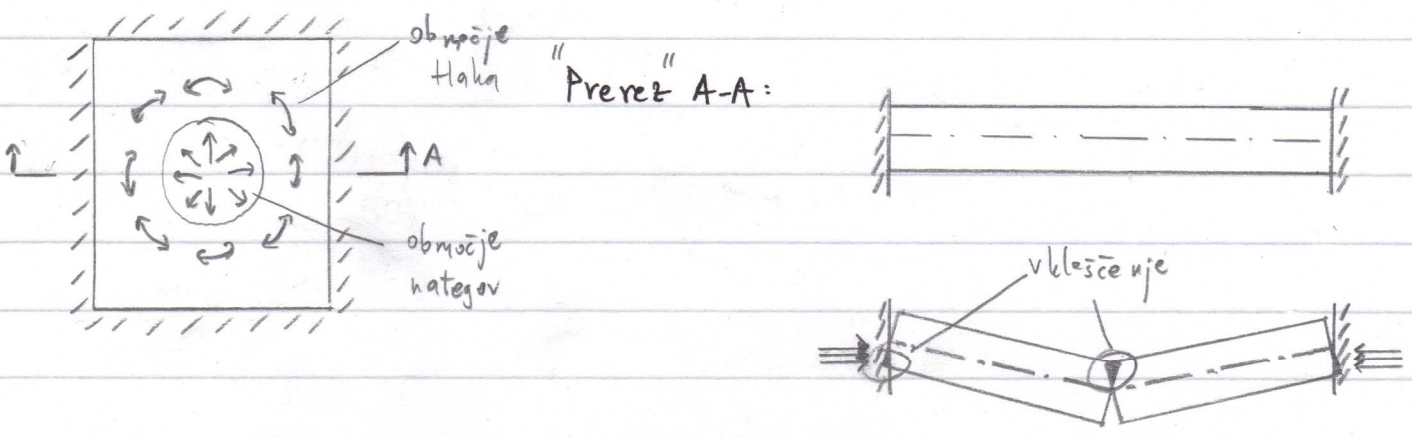
a) Metoda je bila prvič predstavljena javnosti leta 1943 in njen namen je telom časa postal povezati teorijo porušnih linij s klasično teorijo plastičnosti. Ne glede na podpiranje se vsaka plošča pri neki določeni enakomerno razporejeni obtežbi q_{rus} poruši. Ta porušitev se zgodi v točno določenih (glede na način podpiranja in geometrije plošče) območjih \rightarrow glej skico.

Ta se zgodi zaradi nizkoarmiranega prereza, kateri preide v plastično stanje (plastična rotacija), ko je njegov odporostni moment presežen. Idealizacija teh območij in poenostavitev predstavljajo porušne linije oz. rušnice. Z eksperimentalnimi analizami se je izkazalo, da se te rušnice pojavljajo pod določenimi pogoji (način vpetja, razmerje stranic, geometrija plošče) in so enostavno določljive. Na ta način bi se lahko plošče oz. njihove mejne obtežbe določevale na podoben način kot pri analizi po porušnem mehanizmu pri okvirjih. Tako se je razvila metoda porušnih linij.



b) Največji in tudi glavni problem pri tej metodi je določitev porušnega mehanizma in potek ~~rušnic~~ rušnic po plošči na zgornjem in spodnjem robu. Načeloma nam eksperimentalne analize dajejo napotke, kako določiti tak potek, a je ocena q_{rus} po tej metodi vedno optimistična glede na realno teoretično nosilnost, ~~zato~~ saj potek rušnic ni nikoli določen točno tako, kot se plošča poruši v praksi. Ampak zaradi utrjevanja armature v plošči in vpliva membranskih sil v plošči, katere

metoda rušnic zanemari, lahko rečemo, da je ob pravilni določitvi vršnega mehanizma ta metoda pravilna in ne optimistična.



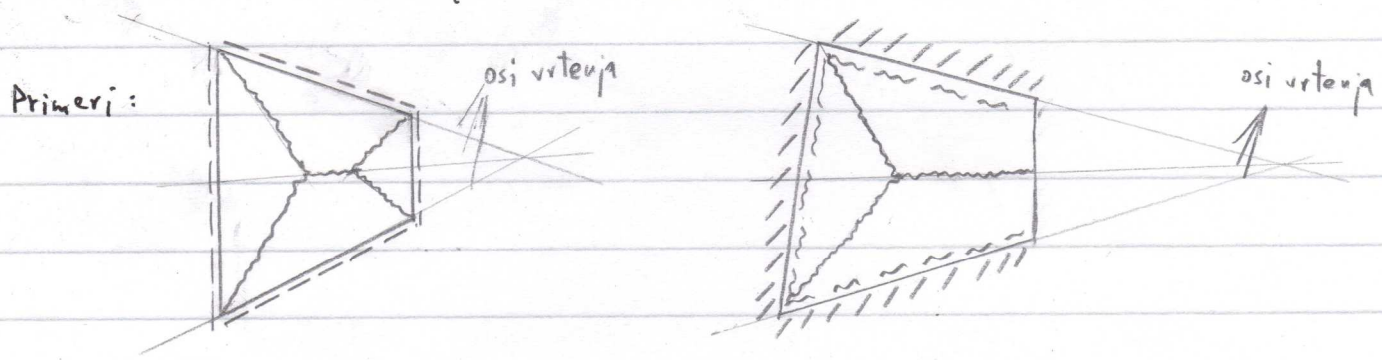
Zaradi mehanizma vklješčenja se pri večji obtežbi sprožijo v plošči napetosti v ravnini plošče, kar poveča v praksi doseženo $q_{ruš}$ za 30% teoretično, če ne več. Zaradi tega membranskega vpliva (plošča deluje kot plitva kupola) je metoda rušnih linij varna, čeprav pri ~~na~~ splošni analizi plošč v teoriji nastanejo manjše $q_{ruš}$.

17. Metoda porušnih linij pri polnih AB ploščah:

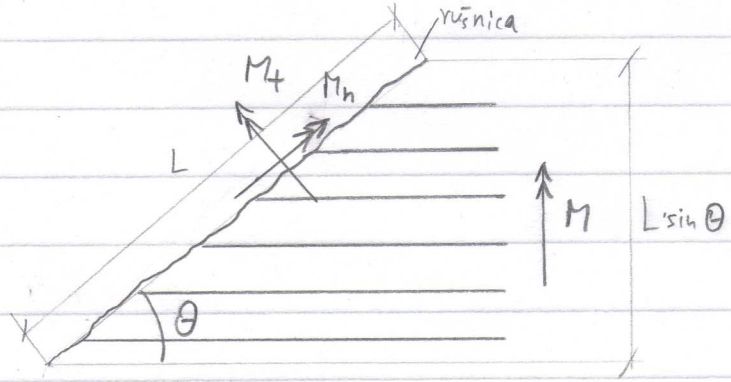
- a) Pravila za določitev (izbiro) porušnega mehanizma.
- b) Določanje upogibne odpornosti vzdolž porušnih linij.

a) Porušnih mehanizem za ploščo mora biti tak, da se lahko tega območja zavrtirajo okoli rušnic glede na ostala območja. Iz eksperimentalnih analiz so izšla naslednja pravila za določitev porušnega mehanizma/poteka rušnic:

1. Rušnice so navadno ravne in so osi rotacije območij.
2. Rušnice se morajo zaključiti na robu plošče ali v drugi rušnici.
3. Osi rotacije ležijo vzdolž podprtih robov, sečejo nepodprte robove in potekajo preko stebrov.
4. Osi rotacije sosednjih območij imajo sečišče tudi, če je to v neskončnosti.
5. Navadno imamo opravka z "negativnimi" rušnicami vzdolž vpetih robov.



b) Ta metoda temelji na določitvi porušnih momentov tekom rušnic v plošči, zato jih moramo znati določiti. Najlažji primer je, če imamo armaturo le v eni smeri.



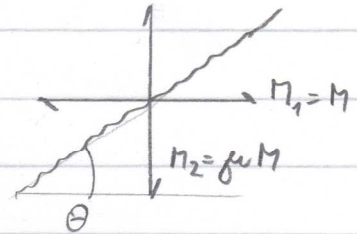
Predpostavimo, da armatura pri obtežbi prav popusti, a ostane ravna, njen moment v tem trenutku pa je $M [kNm/m]$. Moment odpora armature pri prečkanju rušnice je tako:

$$M \cdot L \cdot \sin \theta$$

↳ v smeri armature!

Ta moment lahko razstavimo (na rušnici) na moment pravokotno (M_t) in moment vzdolž (M_n) rušnice. Slednji je dejansko kriv za povzitev, njegova velikost pa je: $M_n \cdot L = M \cdot L \cdot \sin \theta \cdot \sin \theta$ oz. $M_n = M \cdot \sin^2 \theta$

V primeru, da imamo opravlja z ortogonalno armaturo v obeh smereh, lahko M_2 druge armature izrazimo z M_1 prve armature:



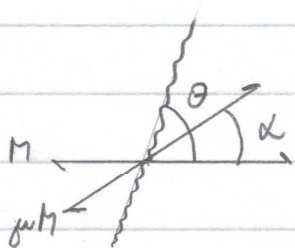
Z upoštevanjem prejšnje enačbe določimo moment vzdolž rušnice: $M_n = M \cdot \sin^2 \theta + \mu M \sin^2 (90^\circ + \theta) = \cos^2 \theta$

$M_n = M \cdot \sin^2 \theta + \mu M \cos^2 \theta$

R mreže $\rightarrow \mu \neq 1,0$

Q mreže $\rightarrow \mu = 1,0 \rightarrow M_n = M(\sin^2 \theta + \cos^2 \theta) \rightarrow M_n = M$
(ne glede na orientacijo!)

Če imamo pa opravlja z armaturo, ki se seka pod splošnim kotom α , potem velja:



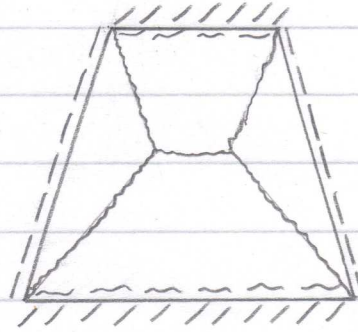
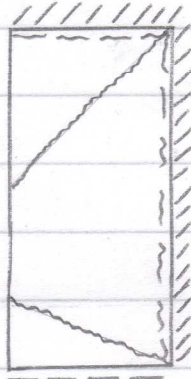
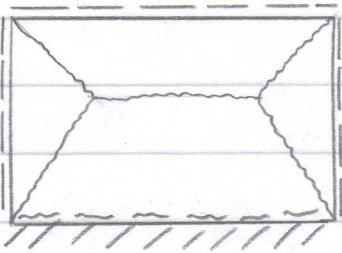
$M_n = M \cdot \sin^2 \theta + \mu M \cdot \sin^2 (\theta - \alpha)$

Za dejanski moment rušenja telom cele rušnice moramo M_n [kNm/m] množiti z dolžino cele rušnice ~~L~~ L. Navadno razliko v globini mrež zanemarimo, saj je majhna v primerjavi z debelino plošče. Tak postopek uporabimo tako za določitev povprečnega momenta za rušnice na zgornji kot tudi na spodnji strani plošče.

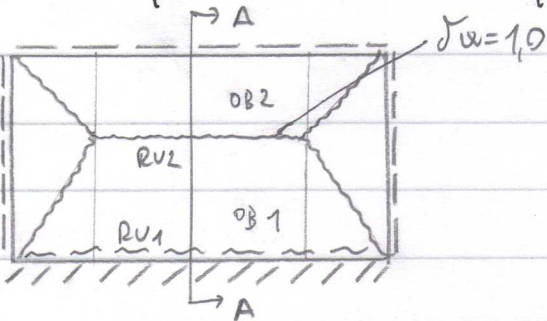
18. Metoda porušnih linij pri polnih AB ploščah:

- a) Izberite tri primere plošč (poljubna geometrija in način podpiranja) in prikažite možne porušne mehanizme.
- b) Predstavite nadaljni splošni računski postopek metode porušnih linij, ko je porušni mehanizem že definiran.

a

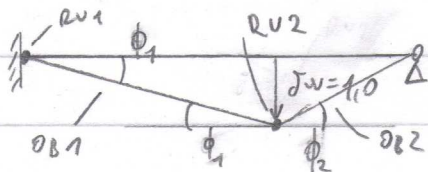


b) Nadaljni računski postopek po dobitvi poteka rušnic temelji na principu virtualnega dela. V ploščo vnesemo virtualni pomik $\delta w = 1,0$ in s tem virtualno zasučemo togo



območja, ki jih omejujejo podpore in/ali površine. To območje je tako rekoč obteženo z virtualno obtežbo, ki vnese tak pomik $\delta w = 1,0$ in zato lahko izračunamo virtualno delo zunanjih sil/te obtežbe δW_z in pa virtualno delo notranjih sil δW_n .

Prerez A-A:



$$\delta W_z = \sum_{\text{območja}} \left[\int_A q \delta w dA \right]$$

Na podlagi geometrije območij in načina porušitve ~~se~~ izračunamo $\delta W_{z,i}$ za vsako območje posebej in jih nato seštejemo. Za to potrebujemo povprečen pomik δw na tem območju in pa površino tega območja.

$$\underline{\mathcal{U}_n = \sum_{\substack{\text{vzdolž} \\ \text{rušnic}}} \left[\phi \int_s M_n ds \right]}$$

Za vsako območje določimo rušnico, okoli katere se rotira, in za vsako rušnico izračunamo kot te rotacije ϕ . Na podlagi armature v plošči pa izračunamo rušilni moment M_n vzdolž celotne rušnice in tako dobimo za vsako rušnico $\mathcal{U}_{n,i}$. Seštevek teh nam poda virtualno notranje delo cele plošče.

Za izračun $q_{ruš}$ moramo ta dva dela izenačiti in izraziti q iz enačbe. Navadno v taki enačbi nastopajo različni parametri, ki definirajo geometrijski potek rušnic in s programsko opremo lahko poiščemo veličnosti teh parametrov, pri katerih bo $q_{ruš}$ imel maksimalno vrednost. Na koncu pa moramo vedno še preveriti ali izbrane veličnosti parametrov ustrezajo izbranemu porušnemu mehanizmu.

$$\boxed{\mathcal{U}_1 = \mathcal{U}_2}$$

19. Postopek požarnega projektiranja AB konstrukcij: a) Relevantni koraki projektiranja. *
- b) Požarni scenarij.

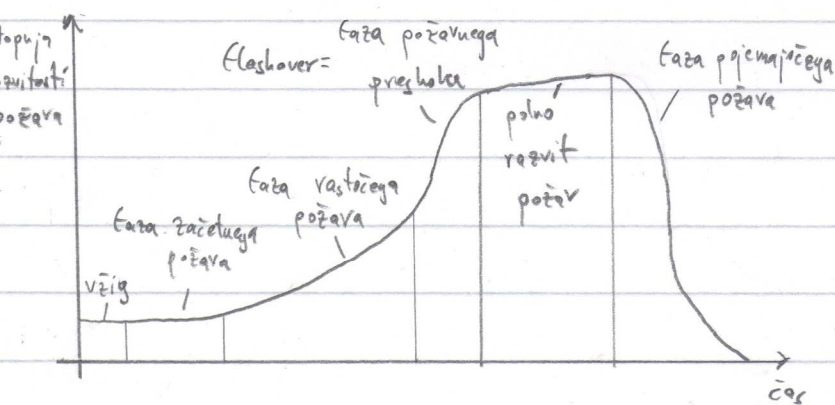
a) Pri projektni analizi konstrukcije v pogojih požara je treba kot relevantne upoštevati naslednje korake:

- izbira za projektiranje metodajnih scenarijev;
- določitev ustreznih projektnih potekov požarov;
- izračun razvoja temperaturnega polja konstrukcijskih elementov (toplotni model);
- izračun mehanskega obnašanja konstrukcije (mehanski model).

Zahtevano obnašanje konstrukcije, iz postavljene požara, se preverja s celovitim računom, računom delov konstrukcije ali konstrukcijskih elementov z uporabo preglednic ali preizkusom.

Projektna analiza konstrukcije v pogojih požara obsega: požarni scenarij, projektni potek požara (nativna krivulja T-t, model naravnih požarov), razvoj temperaturnega polja in mehansko obnašanje konstrukcije.

- b) Požarni scenarij je kvalitativen opis poteka požara s časovno opredeljenimi ključnimi dogodki, ki zaznajo požar. Navadno določira proces vžiga in širjenja požara, stopnjo polno razvitega požara in stopnjo pojemanja upoštevajoč lastnosti ambientnih sistema zgradbe, ki vplivajo na potek požara. Temperatura požarnega prostora je odvisna od parametrov, npr: vrste, količina in razporeditev gorljivih snovi, dimenzije prostora, velikost in razporeditev odprtij, termične lastnosti konstrukcije, relativna vlažnost, zračni pritisk in drugi.



Požarna obremenitev predstavlja količino sproščene toplote ob zgorevanju na enoto površine.

Flashover je prehod v stanje, kjer ogenj zajame celotno površino vseh gorljivih snovi v prostoru.

20. Navedite relevantne korake pri analizi AB konstrukcije v pogojih požara. Mehanska analiza in metode dokazovanja požarne odpornosti.

Za relevantne korake glej vprašanje 19.

Mehansko analizo izvedemo za enek časovni interval, kakor je bil upoštevan pri temperaturni analizi (tu upoštevamo temperaturno odvisne ~~lastnosti~~ toplotne lastnosti materialov). Pri tem moramo dokazati, da velja: - v območju odpornosti:

$$R_{d,t,t_i} \geq E_{d,t,t_i}$$

pripadajoča projektna odpornost

projektni učinek vplivov v požarnem projektnelem stanju, vključno z učinki toplotnih raztežev in deformacij

- ali v časovnem obdobju:

$$t_{d,t,t_i} \geq t_{t_i, req,t}$$

zahtevana časovna odpornost

izračunana (projektna) časovna odpornost

Modeli mehanskega obnačanja konstrukcijskih elementov pri povišanih temperaturah so nelinearni. Upoštevati moramo sile in momente, ki so posledica valjenega in preprežkega raztezanja ter deformacij zaradi temperaturnih sprememb pri izpostavljenosti požaru.

Metode dokazovanja za zadostitev prve ali druge zahteve so:

- Detajliranje v skladu s priznanimi projektnimi rešitvami (tabelirani podatki).
- Poenostavljene računске metode za določene vrste konstrukcijskih elementov.
- Napredne računске metode za simulacijo obnačanja konstrukcijskih elementov, delov konstrukcij ali celotnih konstrukcij.

metoda izotermne in metoda območij

upoštevajo vpliv temperature na mehanske in fizikalne lastnosti različnih materialov

21. Projektni požar: a) Nazivna izpostavljenost požaru. b) Modelirana izpostavljenost požaru.

Projektni požar je določen časovno-temperaturni in prostorski razvoj požara, predviden za projektiranje. Projektni požar v požarnem sektorju ocenimo za vrak projektni požarni scenarij.

Izbriva projektnega požara:

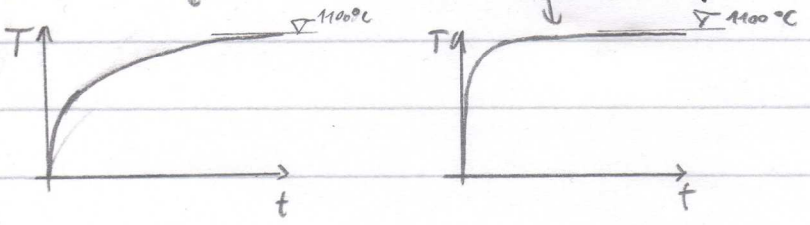
- Nazivna izpostavljenost požaru je nazivna krivulja temperatura-čas. To je konvencionalna krivulja prilagojena razvrščanju ali ugotavljanju požarne odpornosti, z nazivno krivuljo T-t izvedemo temperaturno analizo konstrukcijskih elementov za določeno časovno obdobje brez faze ohlajanja.

b) - Modelirana izpostavljenost požaru je model naravnega požara. S požarnim modelom izvedemo temperaturno analizo konstrukcijskih elementov za celotno trajanje požara.

a) Nazivne krivulje T-t:

- Standardna krivulja T-t je osnovna krivulja, ki predstavlja model polno razvitega požara v sektorju.

- Ogjikovodikova požarna krivulja je osnovna krivulja T-t, ki opisuje gorečje ogjikovodikov.



b) Modeli naravnih požarov:

- Poenostavljeni požarni modeli, ki temeljijo na posebnih fizikalnih parametrih z omejeno množitvijo uporabe: sektorski požari (enohomerna porazdelitev temperature plinov po sektorju) in lokalizirani požari (neenahomerna porazdelitev temperature plinov).

- Natančnejši požarni modeli, ki upoštevajo lastnosti plinov, ohranjanje mase in energije: enocelnski računski modeli, dvo-celnski računski modeli, hidrodinamični računski modeli (časovno in prostorsko odvisen razvoj temperature v požarnem sektorju).

22. Ocena požarne odpornosti AB konstrukcij s poenostavljenimi računskimi metodami:

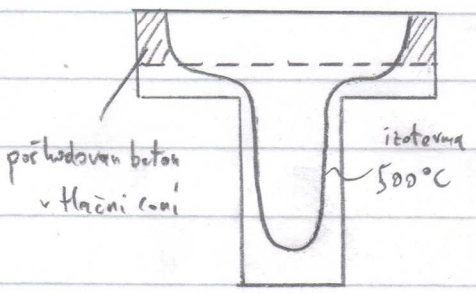
- a) Splošno. b) Metoda izoterme 500°C.

a) Poenostavljene računške metode požarne analize lahko uporabimo za določitev mejne nosilnosti prereza pri povišanih temperaturah. Koraki teh analiz so:

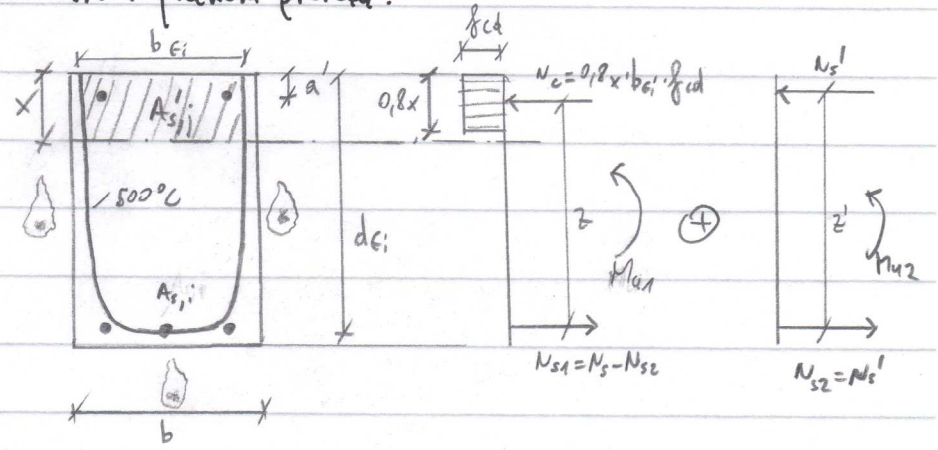
- določitev ustreznega projektnege požara (standardni oz. parametrični požar);
- izračun razvoja temperaturnega polja po prečnem prerezu (model za določitev toplotnega odziva);
- mehanski model (zmanjšanje prečnega prereza, zmanjšanje trdnosti).

b) Metoda izoterme 500°C je:

- Uporabna za armirane in prednapete betonske prerese pri osrednjem upogibanju obremenitvi.
- Uporabna za konstrukcije, ki so izpostavljene standardnemu ali parametričnemu požaru.
- Debelina poškodovanega sloja betona je enaka srednji globini izoterme 500°C v tlačni coni prečnega prereza, poškodovan beton ne prispeva k nosilnosti elementa, preostali prerez pa ohrani tlačno trdnost.



Lego nevtralne osi določimo s pomočjo varnostnega osnih sil v prečnem prerezu:



V prerezu:

$$\sum M = 0 : M_{ed,fi,t} \leq M_{ed,fi,t}$$

$$\sum N = 0 : N_{ed,fi} - N_s + N_s' + N_c = 0 \rightarrow N_c \rightarrow x$$

$$N_s = \sum_i A_{s,i} \cdot f_{sd,t,i} = N_{s1} + N_{s2}$$

$$N'_s = \sum_j A'_{s,j} \cdot f'_{sd,t,j}$$

→ Za vsako pripadajočo armaturno palico moramo določiti temperaturo in trdnost.

Reducirane trdnosti palic (spodaj ož. zgornj):

$$f_{sd,t,i} = k_{s,t,i} \cdot \frac{f_{yk,i}}{\gamma_{s,t,i}}$$

$$f'_{sd,t,j} = k_{s,t,j} \cdot \frac{f_{yk,j}}{\gamma_{s,t,j}}$$

Redukcijski faktor $k_{s,t}$ za karakteristično trdnost jekla za armiranje pri povišanih temperaturah odčitamo iz literature (tabele, graf), v odvisnosti od temperature.

Upogibna ~~odpornost~~ odpornost prereza, ki temelji na učinkovitem prerezu je tako enaka:

$$M_{500} = M_{u1} + M_{u2} = N_c \cdot z + N'_s \cdot z' = N_c \cdot (d_{e1} - 0,4x) + N'_s \cdot (d_{e1} - a') = M_{ed,t,i}$$

Veljati pa mora: $M_{ed,t,i} \geq M_{ed,t,i}$

23. Napredne računске metode dokazovanja požarne odpornosti AB konstrukcij:

- a) Splošno.
- b) Toplotni odziv.
- c) Mehanski odziv.

a) Napredne računске metode morajo omogočiti realno oceno obnačanja konstrukcije med požarom, zato pa morajo ti modeli vsebovati bistvene fizikalne in kemijske procese obnačanja konstrukcije med požarom. Če napredna računska metoda nekakšne oblike pomisleke konstrukcije ne upošteva (lučenje, strig, porušitva sidranja), jo moramo z ustreznimi ukrepi preprečiti.

Koraki teh metod so:

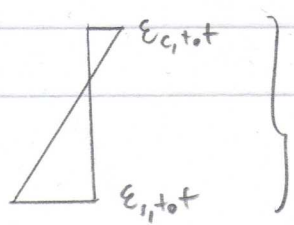
- določitev ustreznega projektnega požara (katerakoli krivulja segrevanja);
- izračun razpisa temperaturnega polja po prečnem prerezu (model za določitev toplotnega odziva);
- analiza mehanskega obnačanja konstrukcije ostrega ujetega dela (model za določitev mehanskega odziva).

b) Določitev toplotnega odziva:

Matematično modeliranje interakcije med požarom in konstrukcijo je v splošnem zelo zahtevno. Skladno s prvim zakonom termodinamike je sprememba notranje energije materiala enaka vsoti vloženege dela in dovedene energije, zato je temperaturno polje konstrukcije odvisno od polja prejete toplote, tudi od spremembe napetostnega in deformacijskega stanja. Ker pa je vpliv opravljenega mehanskega dela najhujši glede na ~~temperaturo~~ vpliv dovedene temperature, ga lahko pri računu temperaturnega polja konstrukcije zanemarimo.

Pri vseh naprednih metodah moramo ~~upoštevati~~ upoštevati, da:

- Metode temeljijo na priznanih načelih in predpostavkah teorije prenosa toplote.
- Upoštevajo temperaturno odvisne toplotne lastnosti materialov.
- ~~Zanemarimo~~ zanemarimo vpliv vsebnosti vlage in gibanja vlage znotraj betona.



geometrijska deb. pri požaru ≠ mehanska def. pri požaru.

c) Določitev mehanskega odziva:

- Metode morajo temeljiti na priznanih načelih in predpostavkah teorije mehanike konstrukcij, kadar je to pomembno, morajo upoštevati tudi učinke geometrijske nelinearnosti.
- Upoštevati moramo temperaturno odvisne mehanske lastnosti materialov.
- Upštevanje predpostavke, da je geometrijska deformacija poljubnega materialnega vlakna sestavljena iz prispevka mehanske deformacije, temperaturne deformacije, deformacije lezenja in t.i. prehodne deformacije (le pri betonskem vlaknu).

Za enostavne računске metode načeloma ne potrebujemo programske opreme za reševanje, razen če imamo specialne preveze in ne znamo iz literature razbrati razvoja toplotnega polja po upju. Za napredne računске metode pa obvezno potrebujemo programsko opremo tako za izračun razvoja toplotnega polja, kot tudi za določitev mehanskega odziva.